

## О ГОРЕНИИ ДИНЫ С ДОБАВКАМИ СОЕДИНЕНИЙ ХРОМА

В. В. Александров, Р. К. Тухтаев, В. В. Болдырев

Результаты, полученные при изучении горения дины в присутствии ряда добавок [1], прямо указывают на то, что для эффективного влияния на скорость горения катализатор должен принять определенную форму (состояние) и занять определенное место в волне горения. Задача настоящей работы заключалась в получении новых экспериментальных данных в подтверждение этого вывода, а также количественных характеристик, касающихся параметров, которые определяют поток тепла в конденсированную фазу от раскаленных тел на поверхности. Процедура приготовления образцов подробно описана в [1]. Скорость горения измерялась с помощью фоторегистратора ФР-11.

В таблице представлены основные результаты по влиянию размера частиц добавок на расстояние  $l$ , при котором осуществляется переход горения дины на быстрый режим, и на скорость горения после перехода  $u$ . Видно, что с увеличением диаметра частиц переход задерживается, и в случае дины без нитроцеллюлозы (НЦ), начиная с  $d=125-160$  мкм, не происходит вообще. На величину скорости горения после перехода размер частиц практически не влияет. Загущение дины нитроцеллюлозой повышает эффективность добавок и заметно сокращает расстояние, на котором осуществляется переход.

Полученные результаты полностью согласуются с высказанным в [2] утверждением, что раскаленные формирования представляют собой агломерированные частицы окиси трехвалентного хрома, образующейся из исходных добавок в процессе горения. Отсутствие влияния дисперсности добавок на величину скорости горения в быстром режиме обусловлено тем, что «катализически» работают макроскопические тела, размеры которых едва ли связаны непосредственно с размером частиц исходных веществ, из которых они возникли. В то же время, на продолжительность переходного периода, в течение которого происходит формирование катализатора, размеры частиц должны и оказывают существенное влияние. Это объясняется следующими причинами.

Состав	$d = 20-30$ мкм				$70-90$ мкм				$125-160$ мкм				$250-315$ мкм			
	$l$ , мм	$u$ , мм/с	$l$	$u$	$l$	$u$	$l$	$u$	$l$	$u$	$l$	$u$				
Д+2,6% $(\text{NH}_4)_2\text{Cr}_2\text{O}_7$	2,5	0,54	8,5	0,54									Нет перехода			
Д+3,0% $\text{K}_2\text{Cr}_2\text{O}_7$	4,0	0,35	25,0	0,36									Нет перехода			
Д+4,0% $\text{K}_2\text{CrO}_4$	4,0	0,35	10,0	0,35									Нет перехода			
Д+2,0% НЦ+2,6% $(\text{NH}_4)_2\text{Cr}_2\text{O}_7$	0	0,85	1,0	0,57	2,0	0,51	3,0	0,41								
Д+2,0% НЦ+3,0% $\text{K}_2\text{Cr}_2\text{O}_7$	0,5	0,37	6,5	0,37	8,5	0,42	12,0	0,45								
Д+2,0% НЦ+4,0% $\text{K}_2\text{CrO}_4$	0,5	0,46	6,5	0,43	8,0	0,49	11,0	0,52								

Примечание. Дина (Д) без добавок горит со скоростью 0,13 мм/с, загущенная дина — со скоростью 0,10 мм/с.

Во-первых, образование окиси хрома в медленном режиме может происходить только в результате окислительно-восстановительного взаимодействия<sup>1</sup> твердых частиц добавки с расплавленной диной или про-

<sup>1</sup> Температура в поверхностном слое дины ( $235 \pm 10^\circ\text{C}$  [3, 4]) недостаточна для того, чтобы окись хрома могла образовываться в результате термического разложения исходных добавок. Возможность протекания окислительно-восстановительного взаимодействия показана экспериментально: при выдерживании образцов дины с добавками ( $d=50-70$  мкм) в течение 3 ч при  $t=140^\circ\text{C}$  средняя степень окисления иона хрома понижается до 3,6—4,0.

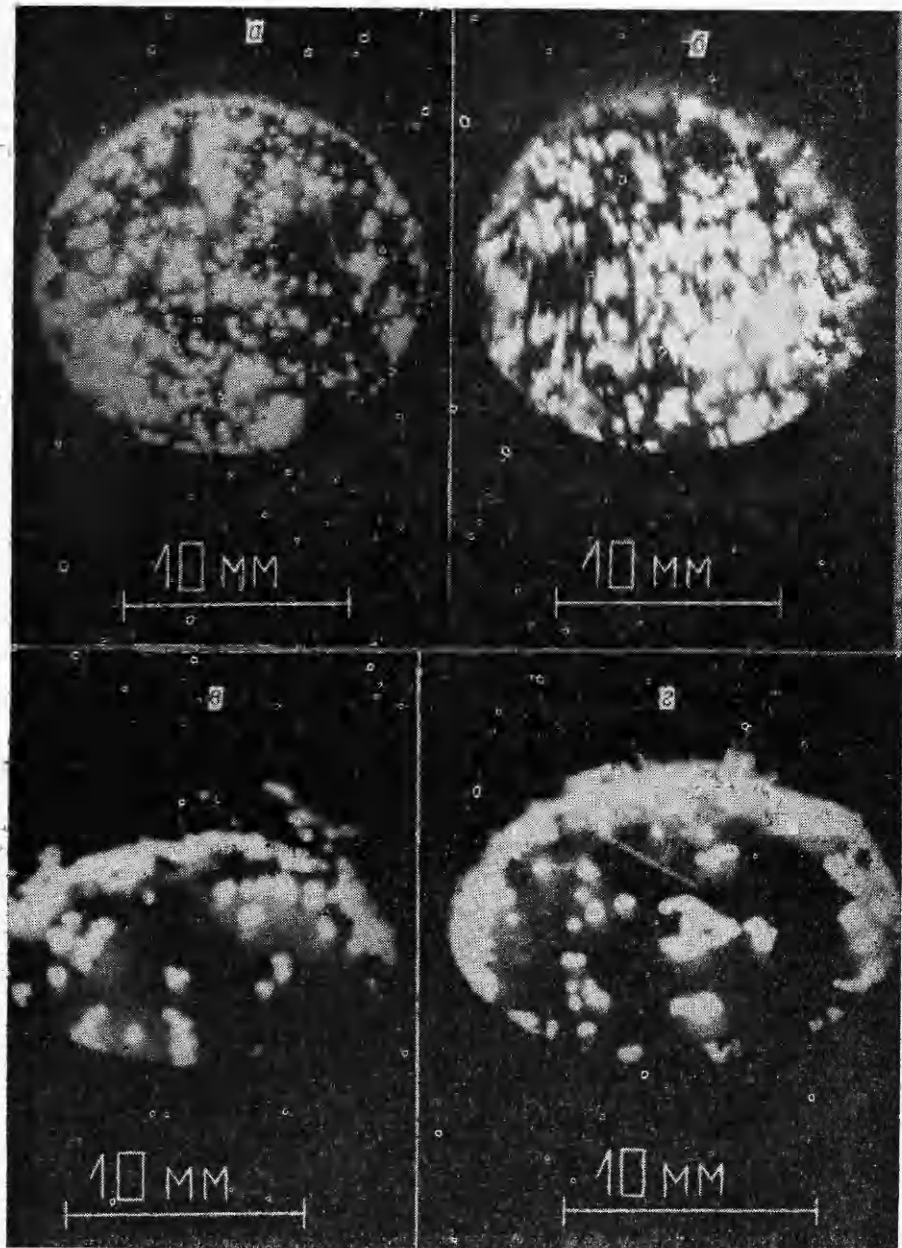


Рис. 1. Фотографии поверхности горящих образцов дини с добавками.  
а) 2,6%  $(\text{NH}_4)_2\text{Cr}_2\text{O}_7$ ,  $d=20-30$  мкм; б) 2,6%  $(\text{NH}_4)_2\text{Cr}_2\text{O}_7$ ,  $d=70-90$  мкм; в) 4,0%  $\text{K}_2\text{Cr}_2\text{O}_7$ ,  $d=20-30$  мкм; г) 3,0%  $\text{K}_2\text{Cr}_2\text{O}_7$ ,  $d=20-30$  мкм.

дуктами ее распада, а скорость таких реакций пропорциональна поверхности контакта. Во-вторых, крупные частицы в незагущенной дине осаждаются в расплавленном слое, тем самым задерживается их попадание в высокотемпературную область до тех пор, пока весь расплавленный слой не заполнится ими. Загущение дине нитроцеллюлозой препятствует осаждению, что приводит к сокращению продолжительности медленного режима горения.

Переход на быстрый режим горения всегда происходит одновременно с возникновением на поверхности светящихся тел. Поэтому естественно было предположить, что прирост скорости горения обусловлива-

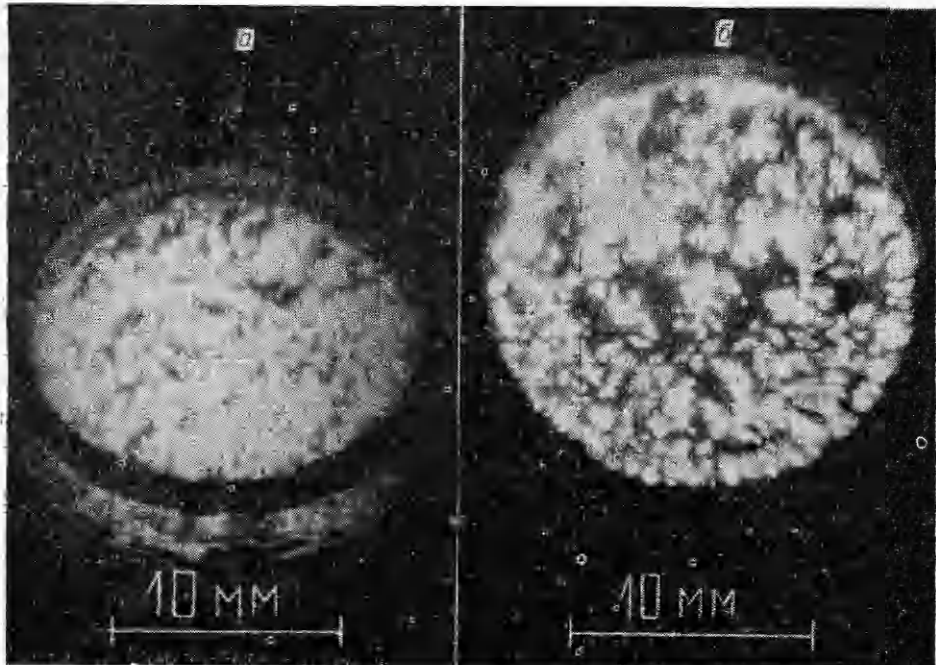


Рис. 2. Фотографии поверхности горящих образцов загущенной длины с добавками:  
а) 2,6%  $(\text{NH}_4)_2\text{Cr}_2\text{O}_7$ ,  $d=20-30 \text{ мкм}$ ; б) 2,6%  $(\text{NH}_4)_2\text{Cr}_2\text{O}_7$ ,  $d=70-90 \text{ мкм}$ .

ется дополнительным тепловым потоком (теплопроводностью и излучением) от раскаленных частиц в конденсированную фазу [1]. Этот вывод, основанный главным образом на визуальных наблюдениях за развитием процесса горения, получил количественное подтверждение.

1. Существует корреляция между степенью покрытия горящей поверхности раскаленными телами  $\alpha$  и яркостью их свечения (или что тоже — их температурой), с одной стороны, и увеличением скорости горения, характеризуемым отношением  $Z=u_1/u_2$  ( $u_1$  — горение с добавкой;  $u_2$  — горение без добавки), с другой:  $Z$  больше в тех случаях, где эти характеристики выше. Так, фотографирование поверхности горящих образцов показало, что для дины с добавкой бихромата аммония ( $d=20-30 \text{ мкм}$ )  $\alpha=55-60\%$  (рис. 1, а). Температура раскаленных тел, измеренная вольфрам-рениевыми термопарами, оказалась равной  $1150\pm\pm 50^\circ\text{C}$ . При введении в дину эквивалентных количеств (в расчете на содержание хрома) хромата или бихромата калия такой же дисперсности эти величины составляют соответственно  $35-40\%$  (рис. 1, в, г) и  $1050\pm\pm 50^\circ\text{C}$ . Бихромат аммония увеличивает скорость горения в 4,1 раза, а соли калия — в 2,7 (см. таблицу).

Увеличение размера частиц добавок до  $70-90 \text{ мкм}$  не влияет ни на величину  $\alpha$  (рис. 1, б), ни на скорость горения (см. таблицу). Если дополнительно к этим добавкам в дину вводится нитроцеллюлоза, степень покрытия в случае мелкозернистого бихромата аммония составляет  $\sim 90\%$ , а при  $d=70-90 \text{ мкм}$  —  $\sim 60\%$  (рис. 2, а, б). В соответствии с этими величинами изменяется и скорость горения.

2. На примере загущенной дины с добавкой бихромата аммония ( $d=20-30 \text{ мкм}$ ) показано, что наблюдаемое увеличение скорости горения неплохо согласуется с увеличением теплового потока в конденсированную фазу за счет раскаленных частиц.

Суммарный тепловой поток в конденсированную фазу складывается из кондуктивного потока и потока лучистой энергии.



Рис. 3. Микрофотография приповерхностной зоны при горении загущенной дины с добавкой бихромата аммония ( $d=20-30 \mu\text{m}$ ).

в разные моменты времени, колеблются от 0,2 до 0,3 мм. Исходя из этих данных, может быть оценена величина градиента температуры:  $\Delta T/\Delta x \sim 3 \div 4,5 \cdot 10^4$  град/см. Если принять коэффициент теплопроводности газовой фазы равным  $2 \cdot 10^{-4}$  кал/(град·см·с) [5], величина кондуктивного потока тепла в конденсированную фазу получается равной  $6 \div 9$  кал/( $\text{см}^2 \cdot \text{с}$ ). Эная температуру раскаленных тел, можно оценить и величину потока лучистой энергии по формуле Стефана — Больцмана. Она составляет  $\sim 5,5$  кал/( $\text{см}^2 \cdot \text{с}$ ). Подстановка этих значений в формулу для скорости горения [6—7] (аналогично тому, как это было сделано в [4]) дает  $u \sim 0,9 \div 1,1$  мм/с (экспериментальное значение скорости — 0,85 мм/с). При этом вклад в скорость горения тепловыделения от реакций в конденсированной фазе ( $2\lambda\Phi RT_{\text{ш}}^2/E \sim 1$  кал $^2/(\text{см}^4 \cdot \text{с}^2)$ ) [4]) становится пренебрежимо мал по сравнению с вкладом теплового потока от раскаленных частиц ( $\Phi^2 \sim 130 \div 210$  кал $^2/(\text{см}^4 \cdot \text{с}^2)$ ).

Если исходить из представления о наличии ведущей зоны в волне горения [8], то влияние добавок на скорость горения может осуществляться:

- 1) через воздействие на объемную скорость тепловыделения в ведущей зоне;
- 2) за счет дополнительного прогрева вещества перед ведущей зоной (в зоне прогрева) теплом от низкотемпературных реакций;
- 3) в результате смены ведущей стадии вследствие ускорения реакций в одной из зон, где до введения добавки они протекали медленно.

Обычно экспериментальные результаты объясняются с использованием первого из этих механизмов. Возможность реализации второго была показана в [9]. Очевидно, что в случае с горением дины при 1 атм реализуется третий из перечисленных механизмов, а именно: переход от режима, когда скорость горения определяется тепловыделением в конденсированной фазе и сравнительно небольшим потоком тепла из газовой фазы [4, 2], к режиму, задаваемому тепловым и лучистым потоком из дымогазовой зоны от раскаленных частиц окиси хрома.

ИФХИМС СО АН СССР,  
Новосибирск

Поступила в редакцию  
26/II 1976

## ЛИТЕРАТУРА

1. В. В. Александров, А. В. Болдырева и др. Докл. АН СССР, 1973, **210**, 1, 161.
2. В. В. Александров, Р. К. Тухтаев и др. ФГВ, 1974, **10**, 4, 543.
3. Э. И. Максимов, Ю. М. Максимов, В. Ф. Чуков. ФГВ, 1971, **7**, 2, 197.
4. В. В. Александров, А. В. Болдырева и др. ФГВ, 1973, **9**, 1, 140.
5. А. А. Зенин. ФГВ, 1966, **2**, 3, 67.
6. С. С. Новиков, Ю. С. Рязанцев. ПМТФ, 1965, 3, 43.
7. Э. В. Конев, С. С. Хлевной. ФГВ, 1966, **2**, 4, с. 33.
8. А. Д. Марголин. Докл. АН СССР, 1961, **141**, 5, 1131.
9. А. А. Ковалевский, Э. В. Конев, Б. В. Красильников. ФГВ, 1967, **3**, 4, 547.

## О ВОЗМОЖНОСТИ ПОЛУЧЕНИЯ КАМУФЛЕТНЫХ ПОЛОСТЕЙ С ГЛАДКИМИ СТЕНКАМИ ПРИ ВЗРЫВЕ В ГЛИНИСТОМ ГРУНТЕ

А. Л. Исаков, В. П. Коковкин, В. Х. Ротт

При камуфлетном взрыве в большинстве неводонасыщенных грунтов вокруг полости образуется система радиальных трещин. Однако в некоторых случаях требуется получить каверну с гладкими стенками. Различными авторами были предприняты неоднократные попытки практического решения этой задачи. Например, в [1] при создании колодцев предложено помещать заряд ВВ в водяную оболочку, что позволяло избежать появления трещин вокруг взрывной полости. Для решения аналогичной задачи в [2] был использован тот же способ, но вместо воды в качестве оболочки был применен раствор цемента, хорошо укреплявший стенки полости после взрыва. Но ни в том, ни в другом случае полученный эффект объяснен не был.

С целью выяснения причин, влияющих на образование радиальных трещин при взрыве в пластическом грунте, был поставлен следующий опыт.

Между двумя текстолитовыми пластинаами 1 и 2 (рис. 1) размерами  $220 \times 220 \times 40$  мм зажата рамка  $7 \times 200 \times 200$  мм с высотой стенок 10 мм и толщиной 3 мм, заполненная глинистым грунтом 3. В центре рамки расположен заряд тэна 5 диаметром 4 мм (расход ВВ 0,13 г/см длины заряда), заключенный в пластилиновую оболочку 4 диаметром 20 мм. Для подвода высоковольтного разрядника 6 к заряду тэна в пластине 2 просверлено отверстие по диаметру заряда. Вся конструкция стянута стальными болтами.

После взрыва образуется полость с гладкими стенками. Радиальные трещины отсутствуют. На рис. 2, а приведен результат взрыва в глине с влажностью 9%, а на рис. 2, б — результат аналогичного взрыва в той же глине, но без пластилиновой оболочки. При более тонком слое пластилина наблюдается появление отдельных трещин, но только в тех местах, где оболочка оказывалась прорванной газами. Во всех случаях (при различной влажности глины) размеры полостей от взрыва с пластилином были больше, чем при аналогичных взрывах в обычных условиях (без пластилина).

На основании изложенных выше результатов можно утверждать, что наличие прослойки, изолирующей газы от соприкосновения с грун-

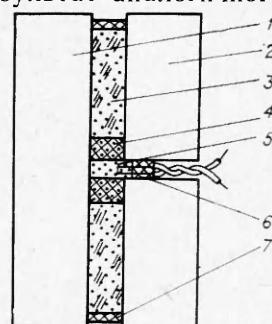


Рис. 1.